

Starkniederschlagshöhen und -spenden gemäß KOSTRA-DWD-2010R

Auswertungszeitraum von 1951 - 2010, Januar - Dezember

Rasterfeld: 58063

Zeile: 58

Spalte: 63

Seite: 1/2

| Dauerstufe D | Wiederkehrzeit T | | | | | | | | | | | | | | | | | | |
|--------------|------------------|------|------------|------|------------|------|------------|-------|------------|-------|------------|-------|------------|-------|------------|-------|------------|-------|------------|
| | 1 a | | 2 a | | 3 a | | 5 a | | 10 a | | 20 a | | 30 a | | 50 a | | 100 a | | |
| min | Std | mm | l / (s ha) | mm | l / (s ha) | mm | l / (s ha) | mm | l / (s ha) | mm | l / (s ha) | mm | l / (s ha) | mm | l / (s ha) | mm | l / (s ha) | mm | l / (s ha) |
| 5 | | 6,1 | 203,3 | 7,7 | 256,7 | 8,7 | 290,0 | 9,9 | 330,0 | 11,5 | 383,3 | 13,1 | 436,7 | 14,1 | 470,0 | 15,3 | 510,0 | 16,9 | 563,3 |
| 10 | | 9,5 | 158,3 | 11,8 | 196,7 | 13,2 | 220,0 | 15,0 | 250,0 | 17,4 | 290,0 | 19,7 | 328,3 | 21,1 | 351,7 | 22,9 | 381,7 | 25,3 | 421,7 |
| 15 | | 11,6 | 128,9 | 14,6 | 162,2 | 16,3 | 181,1 | 18,5 | 205,6 | 21,5 | 238,9 | 24,4 | 271,1 | 26,1 | 290,0 | 28,3 | 314,4 | 31,3 | 347,8 |
| 20 | | 13,1 | 109,2 | 16,6 | 138,3 | 18,6 | 155,0 | 21,1 | 175,8 | 24,6 | 205,0 | 28,1 | 234,2 | 30,1 | 250,8 | 32,6 | 271,7 | 36,1 | 300,8 |
| 30 | | 15,0 | 83,3 | 19,3 | 107,2 | 21,9 | 121,7 | 25,0 | 138,9 | 29,4 | 163,3 | 33,7 | 187,2 | 36,2 | 201,1 | 39,4 | 218,9 | 43,7 | 242,8 |
| 45 | | 16,6 | 61,5 | 22,0 | 81,5 | 25,2 | 93,3 | 29,1 | 107,8 | 34,5 | 127,8 | 39,9 | 147,8 | 43,1 | 159,6 | 47,0 | 174,1 | 52,4 | 194,1 |
| 60 | | 17,6 | 48,9 | 23,9 | 66,4 | 27,6 | 76,7 | 32,2 | 89,4 | 38,5 | 106,9 | 44,8 | 124,4 | 48,5 | 134,7 | 53,1 | 147,5 | 59,4 | 165,0 |
| 90 | | 19,7 | 36,5 | 26,6 | 49,3 | 30,7 | 56,9 | 35,8 | 66,3 | 42,8 | 79,3 | 49,7 | 92,0 | 53,8 | 99,6 | 58,9 | 109,1 | 65,8 | 121,9 |
| 120 | 2 | 21,3 | 29,6 | 28,8 | 40,0 | 33,1 | 46,0 | 38,6 | 53,6 | 46,1 | 64,0 | 53,5 | 74,3 | 57,9 | 80,4 | 63,4 | 88,1 | 70,8 | 98,3 |
| 180 | 3 | 23,8 | 22,0 | 32,1 | 29,7 | 36,9 | 34,2 | 42,9 | 39,7 | 51,2 | 47,4 | 59,4 | 55,0 | 64,2 | 59,4 | 70,3 | 65,1 | 78,5 | 72,7 |
| 240 | 4 | 25,8 | 17,9 | 34,6 | 24,0 | 39,8 | 27,6 | 46,3 | 32,2 | 55,1 | 38,3 | 64,0 | 44,4 | 69,1 | 48,0 | 75,7 | 52,6 | 84,5 | 58,7 |
| 360 | 6 | 28,9 | 13,4 | 38,6 | 17,9 | 44,3 | 20,5 | 51,5 | 23,8 | 61,3 | 28,4 | 71,0 | 32,9 | 76,7 | 35,5 | 83,9 | 38,8 | 93,7 | 43,4 |
| 540 | 9 | 32,3 | 10,0 | 43,0 | 13,3 | 49,3 | 15,2 | 57,3 | 17,7 | 68,1 | 21,0 | 78,8 | 24,3 | 85,1 | 26,3 | 93,1 | 28,7 | 103,8 | 32,0 |
| 720 | 12 | 34,9 | 8,1 | 46,5 | 10,8 | 53,3 | 12,3 | 61,8 | 14,3 | 73,3 | 17,0 | 84,9 | 19,7 | 91,7 | 21,2 | 100,2 | 23,2 | 111,7 | 25,9 |
| 1080 | 18 | 39,1 | 6,0 | 51,8 | 8,0 | 59,3 | 9,2 | 68,7 | 10,6 | 81,5 | 12,6 | 94,2 | 14,5 | 101,7 | 15,7 | 111,1 | 17,1 | 123,9 | 19,1 |
| 1440 | 24 | 42,3 | 4,9 | 56,0 | 6,5 | 64,0 | 7,4 | 74,1 | 8,6 | 87,8 | 10,2 | 101,5 | 11,7 | 109,5 | 12,7 | 119,6 | 13,8 | 133,3 | 15,4 |
| 2880 | 48 | 51,6 | 3,0 | 69,1 | 4,0 | 79,4 | 4,6 | 92,3 | 5,3 | 109,8 | 6,4 | 127,3 | 7,4 | 137,6 | 8,0 | 150,5 | 8,7 | 168,0 | 9,7 |
| 4320 | 72 | 58,0 | 2,2 | 77,7 | 3,0 | 89,3 | 3,4 | 103,9 | 4,0 | 123,6 | 4,8 | 143,3 | 5,5 | 154,9 | 6,0 | 169,5 | 6,5 | 189,2 | 7,3 |

Angaben in mm: Bemessungsniederschlagswerte h(n)

Angaben in l / (s ha): Regenspende R(n) mit $R(n) = h(n) \times 1,666667 / D[\text{min}]$

Toleranzbereiche:

+/- 10 % für $1 \text{ a} \leq T \leq 5 \text{ a}$

+/- 15 % für $5 \text{ a} < T \leq 50 \text{ a}$

+/- 20 % für $50 \text{ a} < T \leq 100 \text{ a}$

Datenbasis: KOSTRA-DWD-2010R des Deutschen Wetterdienstes. Die Regenspende wurde auf Basis des Bemessungsniederschlags zur jeweiligen Andauer berechnet.

Für die Richtigkeit und Aktualität der Angaben wird keine Gewähr übernommen. Erstellt 07/2022.

Starkniederschlagshöhen und -spenden gemäß KOSTRA-DWD-2010R

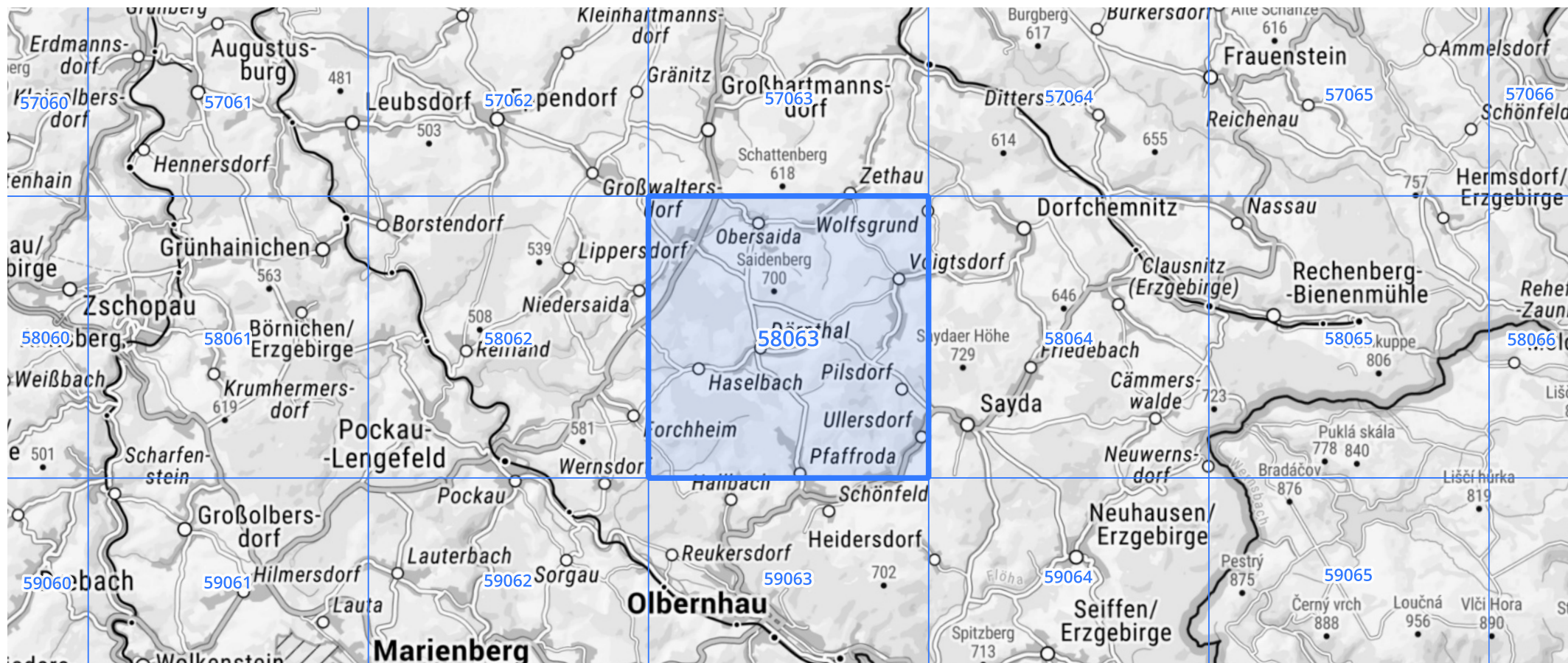
Auswertungszeitraum von 1951 - 2010, Januar - Dezember

Rasterfeld: 58063

Zeile: 58

Spalte: 63

Seite: 2/2



Quelle Rasterdaten: KOSTRA-DWD-2010R des Deutschen Wetterdienstes.

Kartendarstellung: © Bundesamt für Kartographie und Geodäsie (2022), Datenquellen: https://sgx.geodatenzentrum.de/web_public/gdz/datenquellen/Datenquellen_TopPlusOpen.html

Für die Richtigkeit und Aktualität der Angaben wird keine Gewähr übernommen. Erstellt 07/2022.